

# 小型酸性轉爐設備

I. P. 克里亚宁 著

北京鋼鐵工业学院炼鋼教研組 譯

冶金工业出版社

# 小型酸性轉爐設備

И.Р.克里亞寧 著

北京鋼鐵工業學院煉鋼教研組

陳良緒 曲英 唐仲和 王弘毅 譯

冶金工业出版社

И.Р.Крянин

МАЛОБЕССЕМЕРОВСКИЕ УСТАНОВКИ МАШИНОСТРОИТЕЛЬНЫХ  
ЗАВОДОВ

МАШГИЗ (Москва—1949)

小型酸性轉爐設備

北京鋼鐵工業學院炼鋼教研組

編輯：刘应妙 設計：魯芝芳 赵香苓 校对： 刘馥芸

---

1958年11月第一版 1958年12月北京第一次印刷40,000册

850×1168 • 1/32 • 99,000字 • 印张 4<sup>8</sup>/<sub>32</sub> • 插頁 4 • 定价 (10) 0.55元

---

中央民族印刷厂印 新华书店发行 畜号 0915

---

冶金工业出版社出版 (地址：北京市灯市口甲 45 号)

北京市書刊出版业营业許可証出字第 093 号

## 出版者的话

轉爐炼鋼投資少，收效大，是我国目前发展炼鋼工业的主要炼鋼方法。为了高速度增加我国的鋼产量，在极短的时间內超过英国和赶上美国，今年将在各地新建許多炼鋼爐，今后还将建設更多的炼鋼爐，这些炼鋼爐大部分都将是轉爐。为配合炼鋼轉爐的大发展，特将苏联出版的“小型酸性轉爐設備”翻譯出版，供各地参考。

本書介绍了小型酸性轉爐設備的設計計算方法，設備的布置方法。所叙述的虽然是小型酸性轉爐設備，其計算和布置方法对直筒型側吹碱性轉爐也同样适用。

## 目 录

引言.....	5
<b>第一章 转爐的构造.....</b>	<b>9</b>
1. 转爐金屬部件的結構.....	9
2. 转爐尺寸.....	12
3. ЦНИИТМАШ标准轉爐的技术特性.....	17
4. ЦНИИТМАШ 1.5 吨标准轉爐主要尺寸的計算.....	20
5. 向轉爐供送空气.....	23
6. 爐衬.....	29
<b>第二章 轉爐的力学計算.....</b>	<b>34</b>
1. 轉爐重心的确定.....	34
2. 轉爐爐体传动机构的計算.....	58
<b>第三章 鑄鋼車間熔炼工段設備的布置图.....</b>	<b>69</b>
1. 化鐵爐及轉爐的现有布置.....	69
2. ЦНИИТМАШ所拟定的鑄造車間內熔炼 工段的标准布置图.....	73
3. 应用小型貝氏爐的二联及三联炼鋼法.....	96
<b>第四章 小型貝氏爐操作的組織.....</b>	<b>102</b>
1. 过程的热控制.....	102
2. 生产的信号设备.....	109
3. 設備的說明書.....	114
<b>附录 1 化鐵爐說明書.....</b>	<b>122</b>
<b>附录 2 轉爐說明書.....</b>	<b>123</b>
<b>参考文献.....</b>	<b>135</b>

## 引　　言

1863年在俄罗斯，貝塞麦法操作首先是在沃特金斯克开始的，以后在塔吉尔工厂中进行。

在彼得堡的奥布霍夫工厂（1872年）中以及稍后在烏拉尔的下薩尔达工厂中建立轉爐以后，此法才开始广泛地应用。

俄罗斯冶金学家——I.K. 契尔諾夫（在奥布霍夫工厂）及 K.П. 波連諾夫（在下薩尔达工厂）曾經研究出以低矽生鐵来冶炼的独特方法，称之为“俄式貝塞麦法”而列入了冶金史。

貝塞麦法的发展使鋼的产量迅速增加，并使鋼的成本显著降低。在发展及研究貝塞麦炼鋼法中俄罗斯冶金学家： I.K. 契尔諾夫， K.П. 波連諾夫， H.頓科夫， B.李宾， B.格魯姆一格尔迈日洛等都起了很大的积极作用。

与大型貝塞麦爐生产轧制鋼材用的鋼錠的同时，小型貝塞麦法也发展而用来专门生产異型鑄件。

那时的小型貝塞麦法为在下面鼓风的轉爐內吹炼少量的生鐵。

在上世紀的最后 80 年代里小型 貝塞麦法开始采用特殊型式的側吹轉爐，这种轉爐与原来的轉爐不同，它的风咀配置在轉爐的側壁，因此，改变轉爐的傾斜度，便可以将空气吹向金属的表面或深处。

第一次研究小型貝塞麦炼鋼法的工作是由俄罗斯冶金家达維多夫在彼得堡兵工厂中进行的，并发表于 1910 年。

轉爐的側面鼓风吹向金属的表面或深处时，便改变了底吹时所具有的操作特性。

在吹炼的开始阶段金属的氧化主要发生在金属的表面，因此根据被氧化杂质的氧化物之分解压的数值关系铁应该較多地被氧化。

当鼓风通过爐底时分散成很細的金属小粒，这种金属小粒与空气很接近于理想混合。在此情况下杂质氧化速度的比例接近于

理論值。侧面吹炼金属时所起的反应比从下面鼓风时所发生的反应离平衡状态要远些。

借金属的机械混和，以及与金属表面接触的空气中的氧的强烈氧化作用，炉渣中含有多量的铁粒及氧化铁。

在开始吹炼时，当时温度还比较低，除了铁以外，锰及矽部份地被氧化。这时的炉渣主要由氧化铁所组成。

从金属完全为炉渣复盖的时候起，矽与锰便加速氧化，反应在炉渣与金属之间进行，而不像底吹时在金属与空气之间进行。在此时期由于氧化反应的放热，温度很快地上升到 $1450^{\circ}\text{C}$ 。

熔炼期内，与马丁炉及电炉内所发生的过程相似，在熔炼期金属与炉渣之间（而不是金属与空气之间）的反应占着优势。

当铁水温度在 $1450^{\circ}\text{C}$ 时，借空气中的氧与铁水中的碳发生着激烈的氧化作用，当氧足够时，碳几乎完全变为二氧化碳。碳

的氧化同样也靠氧化铁及炉渣中其它氧化物的氧。当有剩余的氧时在转炉内所生成的一氧化碳便氧化成为二氧化碳。

在小型贝氏炉内，由于一氧化碳氧化为二氧化碳的结果，每单位碳能比在大型贝氏炉内放出更多的热量。小型贝氏炉炼钢法的此一特点保证所炼成的钢能达到铸造所需要的温度 $1650\sim1700^{\circ}\text{C}$ 。

在发展的开始阶段转炉是固定式的（图1），沿周围以辐射状配置六个陶土制成的风咀。炉子放在基础上，炉子的外壳由二部份组成，并砌以耐火材料。空气从风咀环箱1送入排列在靠底部的风咀2。炉子的上部

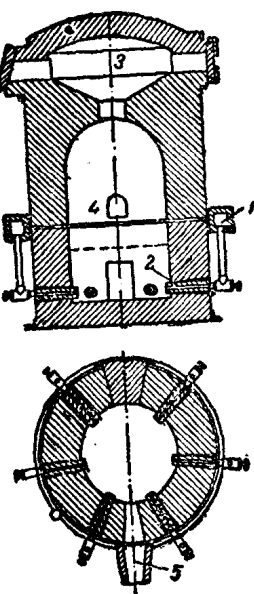


图 1 最初的轉爐构造

1—风咀环箱；2—风咀；3—预热金属室；4—铁水注入口；5—出钢口有小室3，装入熔池的金属先在此室

內以废气預热，从化鐵爐來的鐵水經開口 4 倒入，而炼好的銅液从開口 5 放出。

炼鋼用的轉爐逐漸地便不采用固定式的，而采用比較方便的旋轉式爐子。

下面鼓風的並能旋轉的轉爐構造是貝塞麥轉爐的標準式樣，這種轉爐在冶金工厂中用来炼鋼。

起初的小型貝氏爐空氣也從下面穿過爐底送入，但是發現了用这种方法供給空氣的缺點之後，轉爐便做成側面鼓風了。

側吹轉爐如圖 2 所示。空氣通過五個風咀送入，風咀是這樣排列的，使空氣流股能使熔池圍繞垂直中心線作旋轉運動，在開始鼓風時，這些氣流接觸到熔池的表面而當爐子傾側後氣流便穿過金屬。

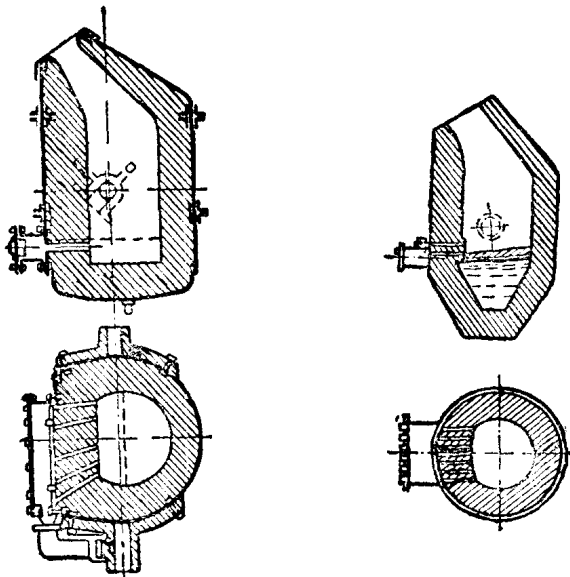


图 2 側面供給空氣的轉爐

图 3 双排风咀的轉爐

當空氣從側面鼓入時能以 0.25 大氣壓的壓力來代替底吹時的 1.5~2.0 大氣壓進行操作。轉爐構造除了單排風咀以外，也曾有過雙排平行排列的風咀。

这种轉爐的結構如图 3 所示，以下是这种轉爐构造的特点：

- 1) 二排风咀中的一排位于金屬液的下面，而第二排风咀則位于金屬熔池平面以上；
- 2) 轉爐的下部縮小；
- 3) 风咀突出爐衬很多。

通过上排风咀送入的空气能帮助一氧化碳在爐內更完全地燃燒而生成二氧化碳，这使吹炼过程加速，并提高了溫度。實驗指出，双排风咀的轉爐并不比单排风咀的轉爐有任何优点。突出于爐衬之外的很多风咀很快就被损坏。

設備簡單，經營費用便宜，操作灵活以及电力消耗較低，因此使小型貝塞麦法在苏联发展着的机器制造工业中有了很快发展的可能性。

为了更进一步成功的发展这种炼鋼方式需要有指导性的資料，而首先是轉爐的計算以及鑄造車間熔炼工段的設計。

下面援引了中央机器制造与工艺科学研究所（ЦНИИТМАШ）所研究的和收集的一些材料，它們能用来解决在机器工厂中与小型貝氏爐設備的設計及构造有关的問題。

# 第一章 轉爐的構造

## 1. 轉爐金屬部件的結構

现代工厂的铸钢车间中应用最广的是单排风咀的转炉。在构造方面它可分为可拆式的及不可拆式的炉身。

### 爐身不可拆下的轉爐

这种类型转炉的特点是炉身不能取下来，而是固定在支环（图4）内或者具有固定的炉耳（图5）。当所有设备停工时炉衬即在就地进行修理（冷却，把砖块敲出，砌砖，干燥及烘烤）。

### 爐身可拆下的轉爐

这种类型转炉的特点是炉身用楔子固定在支环上（图6）。当修理炉衬时炉身用起重机自环中取出，运送至工段上。

在此种情况下风箱的装置可能为：

1. 风箱的一端固定在转炉的支环上，而另一端则固定在焊接于炉身上的法蓝盘上，如图6所示。

当需要把炉身自支环中取出时，法蓝盘便与风箱脱离，而后炉身即告解脱。这种装置系统是 ЦНИИТМАШ 的标准设计。

2. 风箱与风咀用气管连接，气管在炉体从环中取出以前拔出，而当安装炉身时重新插入，并密封地连接起来，这种转炉装置的构造如图7所示。

这种风箱的装置构造的缺点为：

- 1) 从支环到风咀的路上空气受到很大的阻力；
- 2) 钢制的气管与风箱的连接较复杂（用螺栓）；
- 3) 由于炉身与风箱管子连接得不紧密，故有漏气的可能；

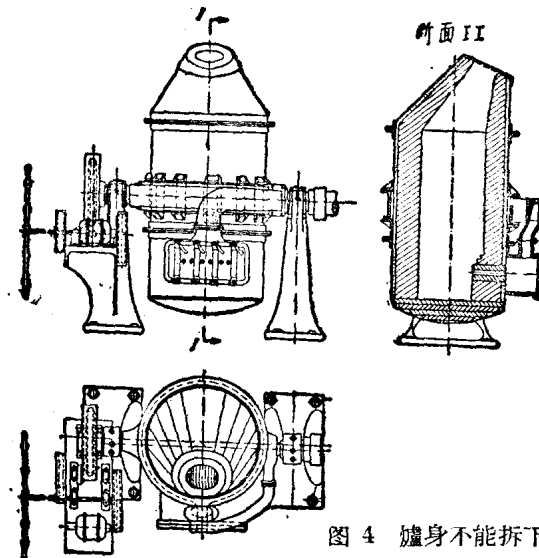


图 4 爐身不能拆下的轉爐

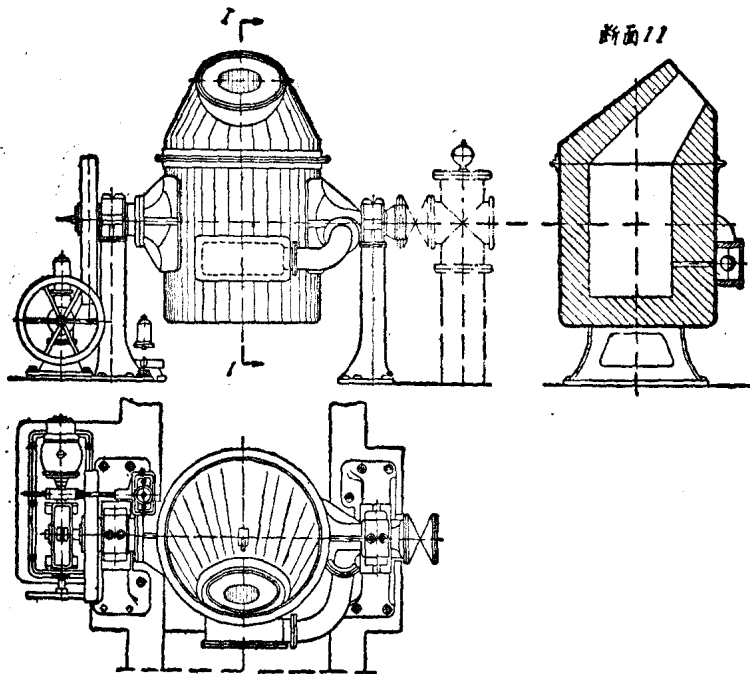


图 5 无支环而用鉚接使耳轴与爐身相联的轉爐

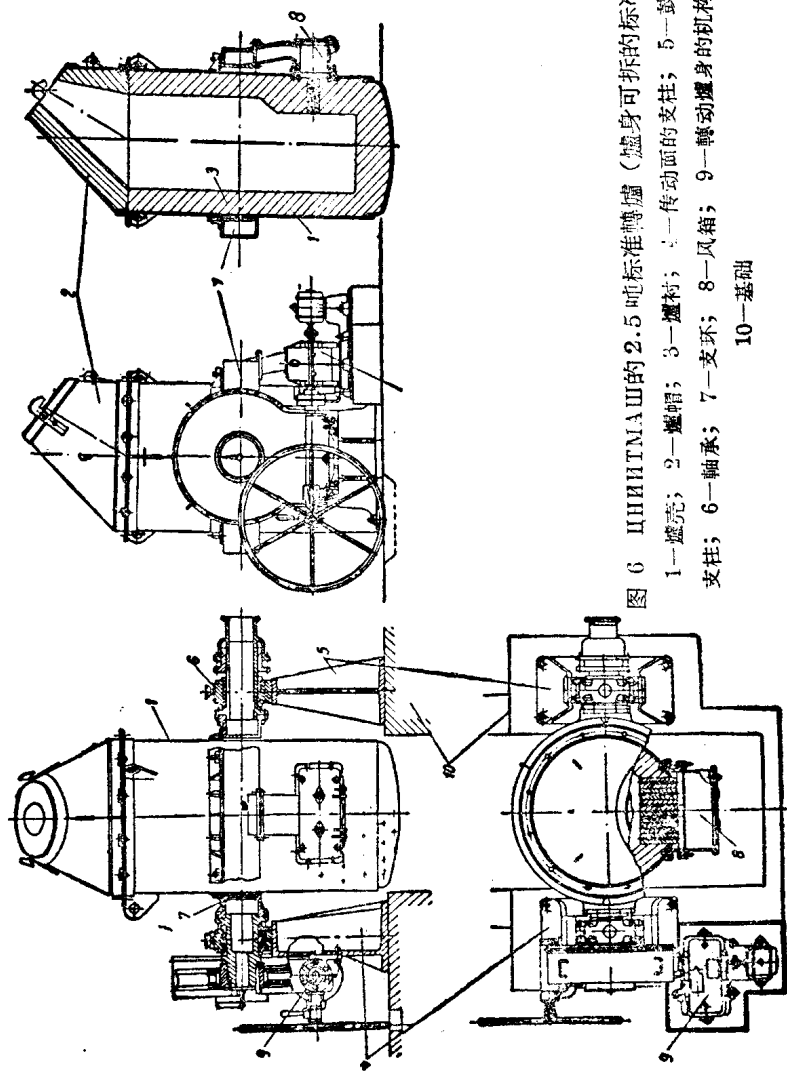


图 6 ЦИИИТМАШ的 2.5 吨标准弯炉（爐身可拆的标准装置）  
 1—爐壳；2—爐帽；3—爐村；4—传动面的支柱；5—爐风面的  
 支柱；6—轴承；7—支环；8—风箱；9—风箱；10—基础；  
 10—基础

4) 这种连接必须随时注意。

爐身可拆的轉爐具有这样的优点，它有后备的爐身，故能替代二个爐身不能拆下的轉爐。

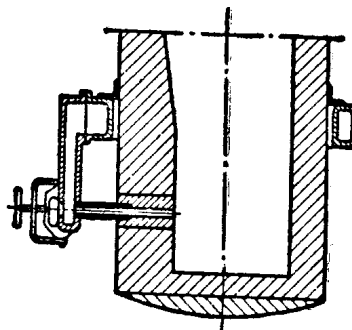


图 7 风箱与风咀用插入式的气管来联接的类型

## 2. 轉爐尺寸

在表 1 中列出了一些实际爐子的經常遇到的尺寸。

轉爐是由二部份組成：爐帽  $A$  及圓柱体部份  $B$ 。轉爐的圓柱体部份  $B$  也可分为工作空間  $b_1$  及液体金屬所占的空間或被称为熔池  $b_2$ 。

轉爐各部份的尺寸符号如下（另见表 1 及草图）。

### 爐帽 $A$

$d_i$ —爐口直径；

$h_i$ —从爐帽底到爐口中心的高度；

$i$ —从爐体中心綫到爐口中心之間的距离；

$\angle \alpha$ —爐帽偏心角；

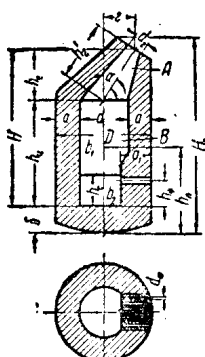
### 圓柱体部份 $B$

$d$ —內径；

$D$ —轉爐外壳直径；

## 轉爐的主要尺寸

表 1



生鐵 裝入 量,噸	轉爐尺寸, m.m.														
	d	D	d <sub>2</sub>	z	a	H <sub>0</sub>	H	h <sub>u</sub>	h <sub>s</sub>	h <sub>g</sub>	h <sub>c</sub>	h <sub>n</sub>	a	a <sub>1</sub>	σ
1.50	800	1374	220	360	32	2910	2225	1425	800	460	498	1290	275	450	430
1.50	900	1525	350	350	35	2775	2180	1500	680	400	396	1115	300	500	340
1.50	900	1630	270	572	—	3560	2980	2100	880	250	352	1530	350	450	400
1.75	750	1424	320	296	28	3400	2750	2050	700	550	555	1400	325	350	400
1.75	860	1374	300	360	30	2910	2520	1700	800	350	490	1245	245	415	300
1.75	900	1632	300	590	32	3530	2980	2100	880	300	432	1520	350	500	400
1.90	900	1630	350	572	—	3560	3050	2170	880	325	420	1530	345	360	330
2.10	900	1420	360	500	—	2700	2095	1200	895	330	493	920	250	350	300
2.50	980	1540	300	425	32	2730	2320	1550	770	450	530	1100	265	350	290
2.85	900	1530	300	440	30	3200	2560	1700	880	530	735	1180	300	480	340

生鐵 裝入 量,噸	風溫 數	風口 直徑, mm	風咀總面積, cm <sup>2</sup>	F <sub>K</sub>	F <sub>C</sub>	d <sub>c</sub>	F <sub>T</sub>	V	V <sub>F</sub>	比例											
										爐體最大 面積, cm <sup>2</sup>	爐體 面積, cm <sup>2</sup>	相應的爐體 直徑, mm	爐口 面積, cm <sup>2</sup>	爐體 容積, cm <sup>3</sup>	全房容積 cm <sup>3</sup>	V/m	V/V <sub>C</sub>	H/d	a <sub>1</sub> /h <sub>r</sub>	F <sub>K</sub> /F <sub>T</sub>	f/m
1.50	6	40	75.3	0.503	0.422	733	0.038	0.73	0.210	0.49	3.50	2.7	1.48	13.2	41.8						
1.50	6	35	57.7	0.636	0.530	823	0.096	1.68	0.210	0.72	5.10	2.42	2.08	6.6	34.0						
1.50	6	35	57.7	0.636	0.596	872	0.057	1.53	0.210	1.02	7.20	3.30	2.50	11.1	38.5						
1.75	7	38	79.1	0.440	0.440	750	0.080	1.05	0.245	0.60	4.30	3.67	1.35	5.5	45.2						
1.75	6	30	42.4	0.580	0.500	793	0.070	1.14	0.245	0.65	4.65	2.93	1.63	8.3	24.3						
1.75	6	35	57.7	0.636	0.566	850	0.070	1.53	0.245	0.85	6.20	3.30	1.97	9.1	33.0						
1.90	6	35	57.7	0.636	0.635	899	0.096	1.62	0.266	0.85	6.10	3.40	2.14	6.6	30.3						
2.10	6	30	42.4	0.597	0.597	872	0.102	1.38	0.294	0.51	3.70	2.33	1.77	5.85	20.2						
2.50	6	45	95.3	0.660	0.660	916	0.070	1.22	0.350	0.49	3.50	2.53	1.73	9.4	38.4						
2.85	6	35	57.7	0.636	0.544	832	0.070	1.34	0.400	0.47	3.35	2.86	1.13	9.10	20.1						

- $a$ —爐衬厚度；  
 $h_y$ —从爐帽底到爐底的高度；  
 $b$ —爐底砌衬的厚度；  
 $h_c$ —金屬層的高度；  
 $h_f$ —从風咀中心綫到爐底的高度；  
 $a_1$ —風咀區的爐衬厚度；  
 $h_n$ —從轉爐中心到爐壳外底的高度；  
 $H$ —從爐口中心到爐底的轉爐總高度；  
 $H_o$ —從爐帽的最高點到爐壳外底的轉爐總高度；  
 $h'_i$ —從轉爐圓柱體部份的中心綫和爐帽中心綫的交點到爐口中心之間的距離。

### 轉爐的工作空間和爐帽

由於沸騰和劇烈的反應過程，金屬和爐渣噴得很高，而且金屬小粒和爐渣會一起噴出來。所以轉爐的工作空間容積應該比注入爐內的鐵水容積大很多。

當轉爐的工作空間容積不夠的時候，吹煉時鐵水的損失就將劇烈地增加。

為了使放出的一氧化碳燃燒成二氧化碳，工作空間的容積同樣具有重要的意義。當轉爐的容積小的時候，這個反應的大部分將在爐外發生而損失掉大量的熱。當爐子的尺寸很大的時候，一氧化碳在爐內得到最完全的燃燒，放出的熱量可用来加熱熔池。

現有轉爐按工作空間容積對爐料的容積之比值可以分為二類：第一類比值小於 5，而第二類比值大於 5。

第一類轉爐的工作空間具有每噸爐料為 0.47—0.65 公尺<sup>3</sup>的容積，這一個數值相當於工作空間容積對金屬爐料容積之比為 3.35—4.65。這樣的工作空間容積是不夠的，因為它不能保證在吹煉過程中爐渣的噴濺最少，亦就是說不能保證最少的吹損。

1 噸裝入量的工作空間的容積大於 0.7 公尺<sup>3</sup>的轉爐工作經驗指出第二類轉爐的爐渣及金屬的噴濺量較少。在這些工廠中

轉爐的工作容积大于金屬爐料的容积 5—7 倍，即为 0.72—1.02公尺<sup>3</sup>/每吨吹炼金属。

当轉爐的工作空間对金屬爐料的体积之比值为 5—7 时得到較好的工作指标。

轉爐工作空間的最大直径是根据容积或者金屬爐料量来选择，根据选择底吹轉爐直径的类似方法，小型側吹貝氏爐的內径（公尺）根据下列公式〔2〕来計算。

$$d = K \sqrt{T}, \quad (1)$$

式中  $T$ ——金屬爐料量，吨；

$K$ ——轉爐的容积系数。

系数  $K$ 可以从表 2 中选取。

表 2

$T$	0.3—0.5	0.6—1.5	1.6—2.5	3.0	5.0
$K$	0.80	0.70	0.65	0.60	0.55

轉爐垂直軸向的高度  $H$  建議采用等于直径  $d$  的三倍。

在现有的轉爐中（表 1）高度对直径的比例波动在：

a) 当轉爐容量为 1.5—1.75 吨时此比值从 2.7 到 3.6；

b) 当轉爐容量为 1.8—3.0 吨时此比值从 2.5 到 3.4。

苏联工厂的实践〔3〕以及最新側吹轉爐的研究工作数据指出，增加高度对直径之比值是合理的。由于增加风咀和爐帽之間的距离改善了吹炼过程的条件。

轉爐高度  $H$ （表 1）对直径  $d$  之比值在容量为 1.5—1.75 吨的轉爐中采用 3.0—3.5 是合理的，而容量为 1.8—3.0 吨的轉爐采用 2.8—3.0。

爐帽口的直径影响到金屬及爐渣的噴濺量，以及影响到风压大小的选择。轉爐橫断面面积  $F_n$  对爐口面积之比值 建議采用 8—10。

爐帽偏心角  $\alpha$  大約等于 30°。

## 熔 池

轉爐的熔池根据装入量来計算 [1]，亦就是当轉爐爐衬的尺寸在正常的时候根据第一爐吹炼倒入的鉄水量来計算。

熔池的深度  $h_c$  (公尺) 和表面面积有关。可用比值  $\frac{V_c}{F_c}$  来表示，此外  $V_c$ —金属爐料的体积，公尺<sup>3</sup>，而  $F_c$ —在靜止状态下熔池的表面面积，公尺<sup>2</sup>。

金属熔池的表面面积（或平面面积）可以根据格力德（Гелльд）公式 [4] 来計算：

$$F_c = \frac{\pi r^2}{2} + (d - 0.15d)(r - 0.30r) \quad (2)$$

当熔池的深度选择得正确时，鼓入轉爐的空气鋪散在熔池的上面（图 8， $a$ 及 $i$ ）把吹炼过程开始时所形成的爐渣赶到对面而使金属暴露出来，这样使空气有可能和新的金属質点相接触并把它氧化。

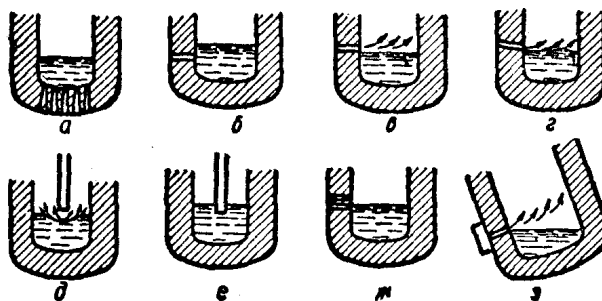


图 8 向金属熔池供給空气的各种不同方式

經驗指出，当空气的鼓入不在金属的表面上而从熔池的侧面經金属的下面鼓入能使杂质的氧化过程加速进行。

在轉爐的熔池深度为 450 公厘及 530 公厘的試驗中指出，当风咀为水平排列，而熔池深度为 450 公厘时过程进行得最快。但是吹損比熔池深度为 530 公厘时的大。